

# TEMA 4: SISTEMAS DE TRANSMISIÓN DIGITAL PASO BANDA

4.1- INTRODUCCIÓN

4.2- PLANTEAMIENTO GENERAL

4.3- TÉCNICAS DE MODULACIÓN DIGITAL

4.3.1- PAM

4.3.1.1- ASK-DSB

4.3.1.2- ASK-SSB

4.3.1.3- QASK

4.3.1.4- PSK

4.3.1.5- ASK-PSK (AM-PM)

4.3.2- FSK

4.3.3- Otras técnicas PAM

4.3.3.1- OPSK

4.3.3.2- MSK

4.3.3.3- DPSK

4.4- PRESTACIONES

4.4.1- Comparación de sistemas

4.4.2- Criterios de diseño

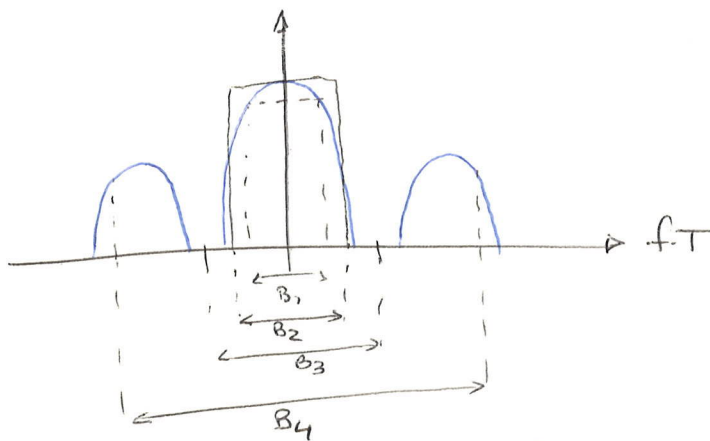
---

## 4.1 - INTRODUCCIÓN

Vamos a ver modificaciones  $\Rightarrow$  antenas más eficientes y multiplicación de información

Análisis de banda: distintas formas de medirlo

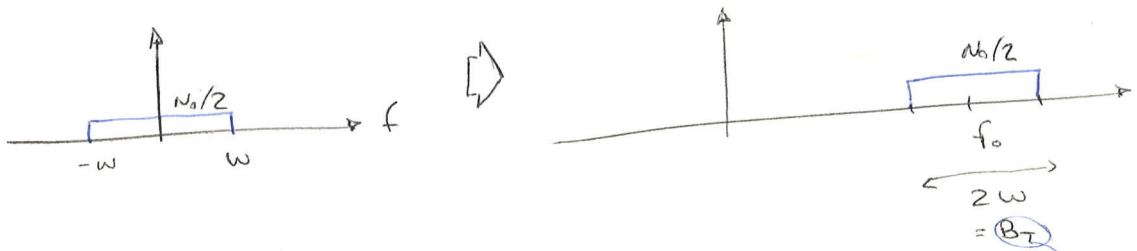
- A 3dB ( $B_1$ )
- Equivalente de ruido ( $B_2$ )
- De primeros nulos ( $B_3$ )
- Contenido de potencia fraccional ( $B_4$ )



Probabilidad de error: es función de  $G$  SNR

$$\boxed{SNR = \frac{S}{N} = \frac{E_b \cdot R}{\frac{N_0}{2} \cdot 2B_T} = \frac{E_b}{N_0} \cdot \frac{R}{B_T}}$$

$E_b$  = energía por bit (J/bit)



$$\frac{E_b}{N_0} \rightsquigarrow \text{dB/bit}$$

$\frac{R}{B_T}$  = eficiencia espectral

$$\boxed{\eta = \frac{R \text{ (bps)}}{B_T \text{ (Hz)}}$$

→ resolución de banda de transmisión

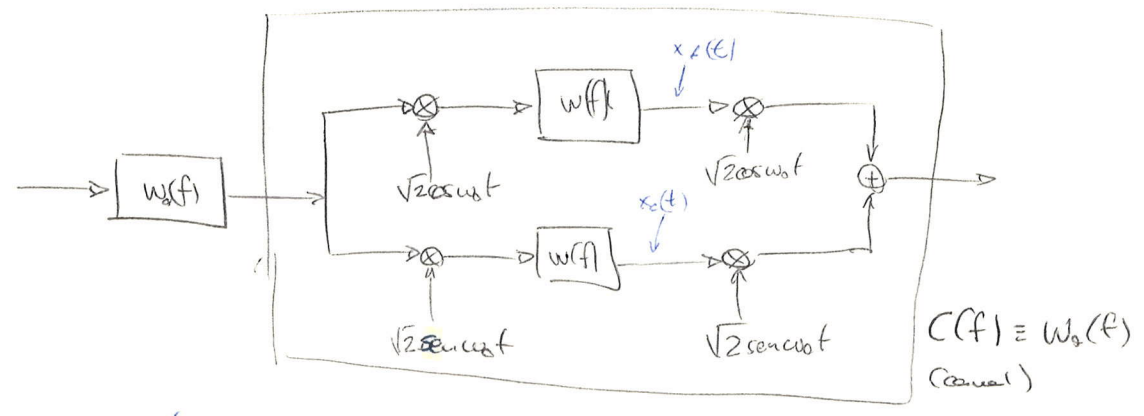
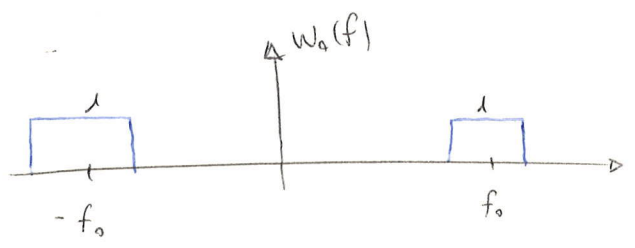
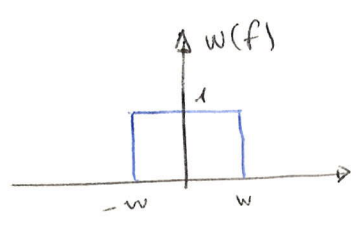
### Objetivos:

- 1.- Minimizar la probabilidad de error por bit (BER)
- 2.- Minimizar la potencia (P) requerida
- 3.- Maximizar la eficiencia espectral ( $\eta$ )
- 4.- Minimizar la complejidad

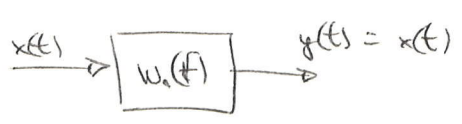
Objetivos incompatibles entre sí.

### 4.2- PLANTEAMIENTO GENERAL

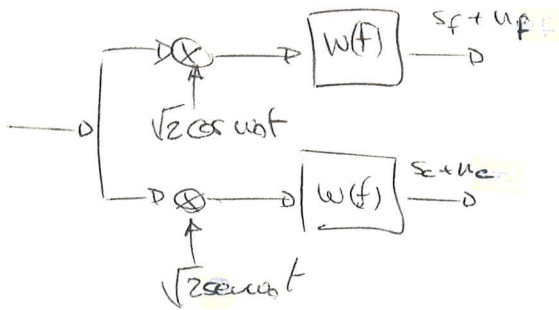
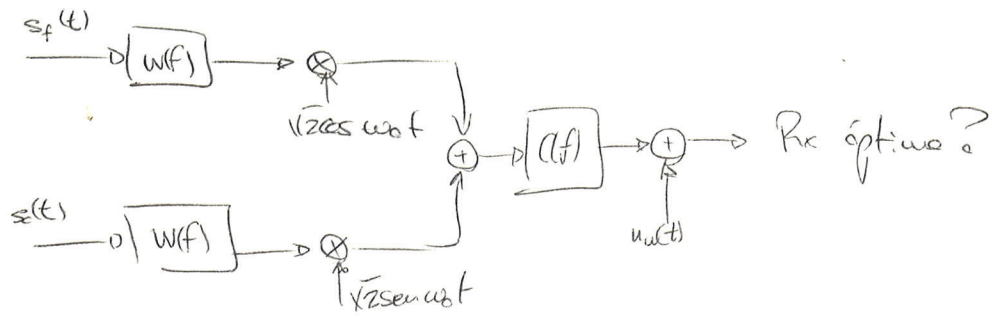
Blau blau blau... Señal analítica y equivalente paso bajo... zzzzzz



$$x(t) = (x_f(t) \cos \omega_0 t + x_c(t) \text{sen} \omega_0 t) / \sqrt{2}$$



Es posible recuperar la información si se consigue sincronizar.



$$u_w(t) = (u_f(t) \cos \omega_c t + u_z(t) \sin \omega_c t) \sqrt{2}$$

↑  
r u<sub>fb</sub>(t)  
fuera de banda

Conclusiones:

- 1.- Tenemos un canal doble (fase/cuadratura)
- 2.- No hay que cambiar la teoría para el Rx óptimo
- 3.- El ruido fuera de banda es irrelevante (b filtros)
- 4.- Hay que garantizar el sincronismo

$b(t)$  equivalente para bajo

$$x(t) = \text{Re} \left( b(t) \cdot e^{j\omega_c t} \right)$$

Teora 2  $\rightarrow y(t) = \sum_n A(\omega T_s) \cdot b(t - \omega T_s)$

$$y(t) = \text{Re} \left( \sum_n \left( A_{kn}(\omega T_s) \right) b(t - \omega T_s) \cdot e^{j\omega t} \right)$$

Solo vale para PAM  $\rightarrow B_k(\omega T_s) + j C_n(\omega T_s)$

# 4.3- TÉCNICAS DE MODULACIÓN DIGITAL

## 4.3.1 - PAM

(Pulse Amplitude Modulation)

### 4.3.1.1 - ASK-DSB

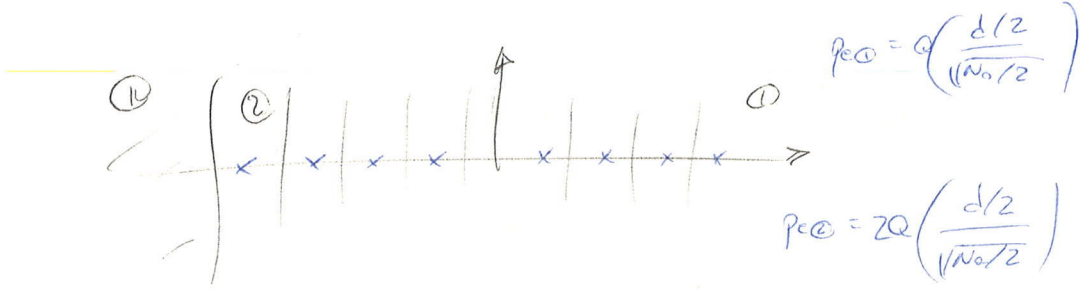
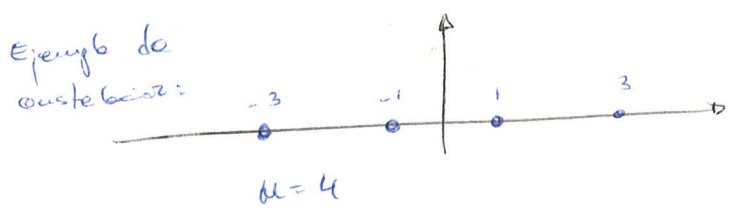
$$b(t) = b^R(t) + j b^I(t)$$

En ASK-DSB,  $b^I(t) = 0$

$$A_{k\mu}(\omega T_s) \in \mathbb{R}$$

$$A_{k\mu} = B_k = \frac{2k-1}{2} \cdot d \quad k \in \left\{ \frac{M}{2} + 1, \dots, \frac{M}{2} \right\}$$

$$y(t) = \text{Re} \left( \sum_{\omega} B_k(\omega T_s) \cdot b^R(t - \omega T_s) \cdot e^{j\omega t} \right) = \left( \sum_{\omega} B_k(\omega T_s) \cdot b^R(t - \omega T_s) \right) \cos \omega_0 t$$



$$p_e = 2 \left( 1 - \frac{1}{M} \right) Q \left( \frac{d/2}{\sqrt{N_0}/2} \right)$$

$$E = E(d) \quad E = \frac{d^2}{12} (M^2 - 1)$$

$$d = d(E)$$

$$P_e = 2 \left(1 - \frac{1}{M}\right) \cdot Q \left( \sqrt{\frac{6}{M^2 - 1} \frac{E}{N_0}} \right)$$

$E$ : energía media por símbolo

$$E = E_b \cdot \log_2 M$$

$$P_e = 2 \left(1 - \frac{1}{M}\right) \cdot Q \left( \sqrt{\frac{6}{M^2 - 1} \frac{E_b \cdot \log_2 M}{N_0}} \right)$$

$$\boxed{\eta = \frac{R}{B_T} = \frac{2W \cdot \log_2 M}{2W} = \log_2 M \text{ (bps/Hz)}} \quad \left| \right.$$

$R_{can} = 2 \cdot W$  (caso ideal)

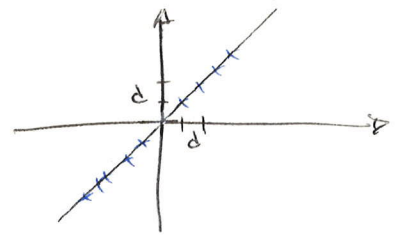
$$R = r \cdot H$$

$$M \uparrow = D \uparrow \left. \begin{array}{l} \eta \uparrow \\ P_e \uparrow \end{array} \right\} \rightarrow \text{compromiso}$$

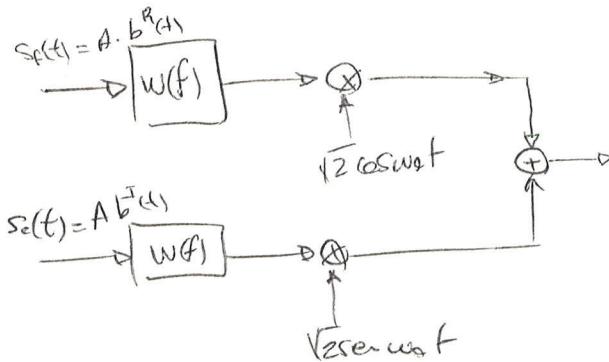
### 4.3.1.2 - ASK-SSB

$$b^{\pm}(t) = TH \} b^R(t) \text{ } b^I(t)$$

Use más bandas pero el sistema es más complejo.



Alora la distancia entre señales es  $d\sqrt{2}$



$$P_e = 2 \left(1 - \frac{1}{M}\right) Q \left( \frac{d/\sqrt{2}}{\sqrt{N_0/2}} \right)$$

$$\boxed{P_e = 2 \left(1 - \frac{1}{M}\right) Q \left( \sqrt{\frac{3}{M^2 - 1} \cdot \frac{E_b}{N_0} \cdot 2 \log_2 M} \right)}$$

$$\eta = \frac{2W \log_2 M}{W} = 2 \log_2 M \text{ (bps/Hz)}$$

### 4.3.1.3 - QASK

Q = Quadrature

$$y(t) = \text{Re} \left( \sum_n A_{kn} (uTs) \cdot b(t-uTs) \cdot e^{j\omega t} \right)$$

Suponemos  $b(t)$  real y  $A_{kn}(uTs)$  compleja:

$$A_{kn}(uTs) = B_k(uTs) + jC_u(uTs)$$

Hay  $M$  símbolos equiprobables ( $\sqrt{M}$  niveles)

$$\begin{cases} B_k = \frac{2k-1}{2} d \\ C_u = \frac{2u-1}{2} d \end{cases} \quad k, u \in \left\{ -\frac{\sqrt{M}}{2} + 1, \dots, \frac{\sqrt{M}}{2} \right\}$$

Constelaciones cuadrada:

$$P_e = p(e/u_0) \cdot p_0 + p(e/u_2) \cdot p_2 + p(e/u_3) \cdot p_3$$

$$p(e/u_0) = 2Q\left(\frac{d/2}{\sqrt{M}d/2}\right) - Q^2(\dots) \quad [\text{esquinas}]$$

$$p(e/u_2) = 3Q(\dots) - 2Q^2(\dots) \quad [\text{---}]$$

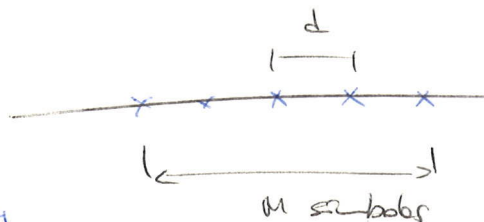
$$p(e/u_3) = 4Q(\dots) - 4Q^2(\dots) \quad [\text{□}]$$

$$p_0 = \frac{4}{M} \quad p_2 = \frac{4(\sqrt{M}-2)}{M} \quad p_3 = \frac{(\sqrt{M}-2)^2}{M}$$

$$P_e = \frac{4}{M} (2Q - Q^2) + \frac{4(\sqrt{M}-2)}{M} (3Q - 2Q^2) + \frac{(\sqrt{M}-2)^2}{M} (4Q - 4Q^2)$$

Ahora queremos la distancia en función de la energía. De ASK-DSB:

$$E = \frac{d^2}{12} (M^2 - 1)$$



Ahora en horizontal hay  $\sqrt{M}$  símbolos

$$E = \frac{d^2}{6} (M - 1)$$

$$\frac{d/2}{\sqrt{N_0/2}} = \sqrt{\frac{3}{M-1} \frac{E}{N_0}}$$

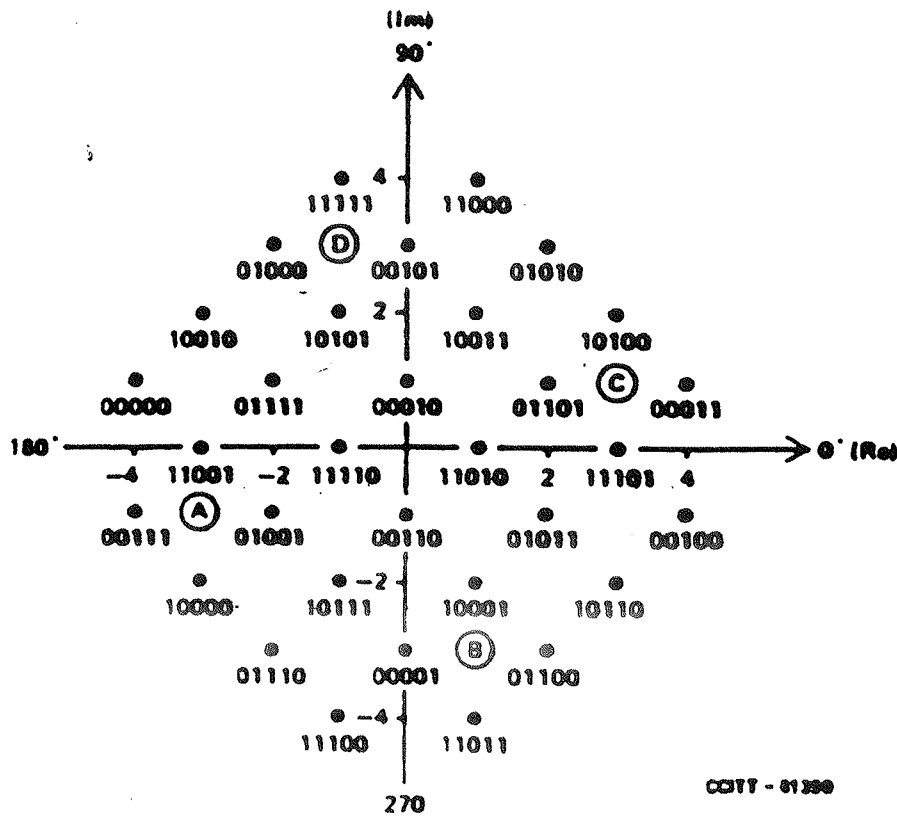
$$P_e = 4 \left(1 - \frac{1}{\sqrt{M}}\right) Q\left(\frac{d/2}{\sqrt{N_0/2}}\right) \left(1 - \left(1 - \frac{1}{\sqrt{M}}\right) Q\left(\frac{d/2}{\sqrt{N_0/2}}\right)\right)$$

Si SNR  $\uparrow$ , esto es despreciable

$$P_e \approx 4 \left(1 - \frac{1}{\sqrt{M}}\right) Q\left(\sqrt{\frac{3}{M-1} \frac{E}{N_0}}\right)$$

$$E = E_b \log_2 M$$

$$\text{La } p_e \text{ de símbolos: } p_e \approx 4 \left(1 - \frac{1}{\sqrt{M}}\right) Q\left(\sqrt{\frac{3}{M-1} \frac{E_b}{N_0} \log_2 M}\right)$$



Los números binarios representan  $Y0_n, Y1_n, Y2_n, Q3_n, Q4_n$

FIGURA 3/V.32

Constelación de señal de 32 puntos con codificación en rejilla para 9600 bit/s  
 y subconjunto de estados A, B, C y D utilizados a 4800 bit/s  
 y para el acondicionamiento

*Amplitudes de los subconjuntos de amplitud  
 y de fase.*

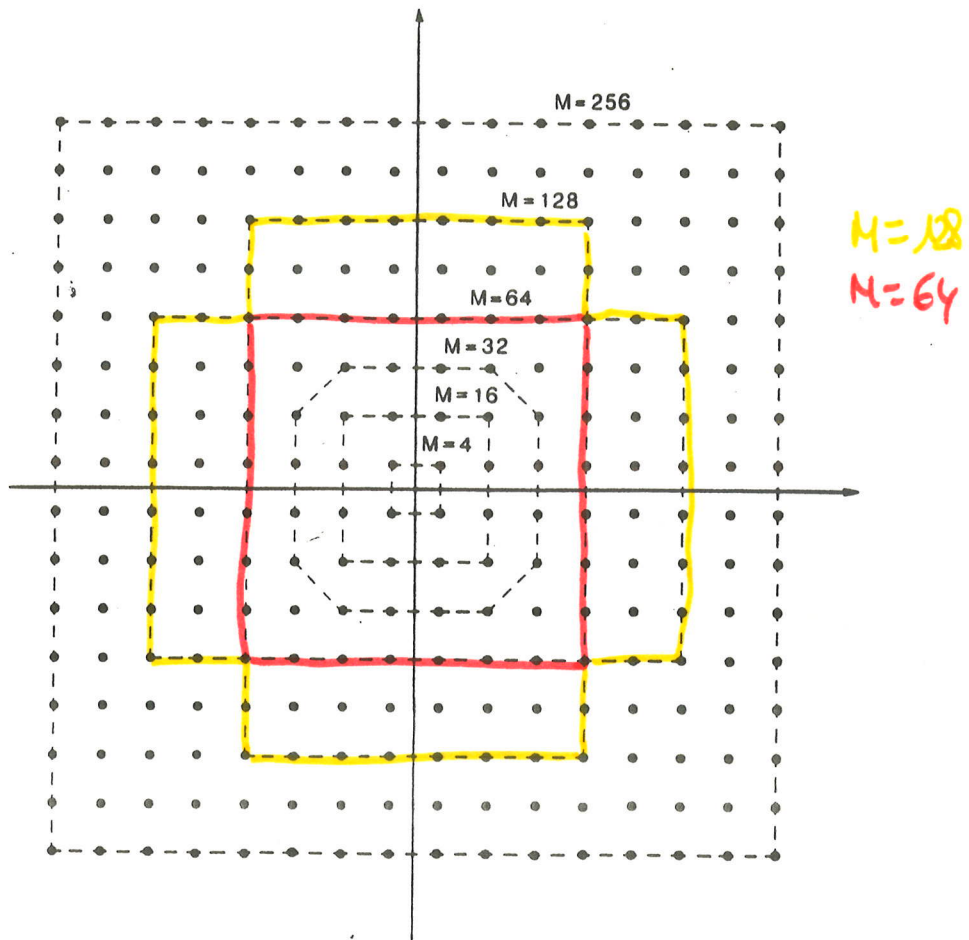


Figure 5.22 Rectangular AM-PM signal constellations. The dotted lines delimit the region of the signal points pertaining to that particular  $M$ . Notice the cross constellations for  $M = 32 = 2^5$  and  $M = 128 = 2^7$ .

$$\eta = \frac{R(\text{bps})}{B_T(\text{Hz})} = \frac{r \log_2 M}{B_T} = \log_2 M$$

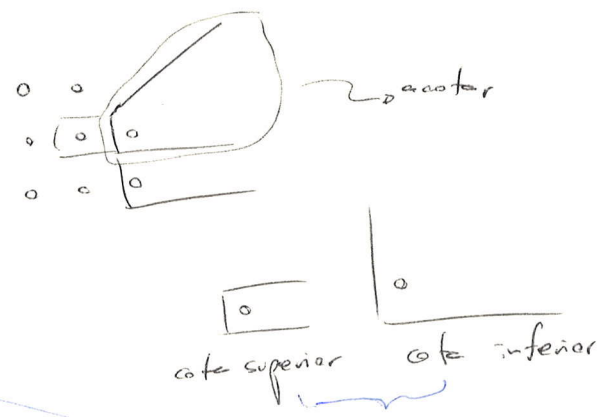
¿por qué?

→ en la base,  $1/B_T = 2$ , al  
 reducir  $B_T$  se duplica  $\Rightarrow 1/B_T = 1$   
 (idealmente)

### 4.3.1.5 - ASK+PSK (AM-PM)

(transparencia rejilla)

Seguimos dando vueltas:



→ funciona mejor que la  
 de Arthur ...

### 4.3.1.4 - PSK (000000(e<sup>-</sup>))

$$A_{kn} = \sqrt{E} \cdot e^{i \frac{2\pi k}{M}}$$

$$Q \left( \frac{\sqrt{E} \sin \pi/M}{\sqrt{N_b/2}} \right) < p_e < 2Q \left( \frac{\sqrt{E} \sin \pi/M}{\sqrt{N_b/2}} \right)$$



$$Q \left( \sin \pi/M \sqrt{\frac{2E_b}{N_b} \log_2 M} \right) < p_e < 2Q \left( \sin \frac{\pi}{M} \sqrt{\frac{2E_b}{N_b} \log_2 M} \right)$$

$p_e$  de símbolo

$$\frac{p_e}{\log_2 M} \leq \text{BER} \leq p_e$$

$$\eta = \log_2 M \text{ (bps/Hz)}$$

### 4.3.2 - FSK

$$s_k(t) = \sqrt{\frac{2E}{T}} \cdot b(t) \cdot \cos(\omega_0 + \omega_k) t \quad 0 \leq t \leq T$$

$$\langle b^2(t) \rangle = 1$$

$$\omega_k = 2\pi f_k, \quad f_k = \frac{2k-1}{2} f_d$$

$$k \in \left\{ -\frac{M}{2} + 1, \dots, \frac{M}{2} \right\}$$

$\cos \omega t$

$$\cos(\omega + \Delta\omega)t \quad \left\{ \begin{array}{l} 0 = \int_0^T \cos \omega t \cdot \cos(\omega + \Delta\omega)t dt \\ \text{ortogonales} \end{array} \right.$$

↑  
ortogonales

$$\cos A + \cos B = 2 \cos \frac{A+B}{2} \cos \frac{A-B}{2}$$

$$A = (2\omega + \Delta\omega)t$$

$$B = \Delta\omega t$$

$$0 = \int_0^T \cos(2\omega + \Delta\omega)t dt + \int_0^T \cos \Delta\omega t dt$$

$$\rightarrow \frac{\sin(2\omega + \Delta\omega)T}{2\omega + \Delta\omega} + \frac{\sin \Delta\omega T}{\Delta\omega} = 0$$

$2\omega + \Delta\omega$  es muy grande

$$\sin \Delta\omega T = 0 \Leftrightarrow \Delta\omega T = k \cdot \pi \quad k \in \mathbb{Z}$$

$$\Delta f \cdot T = \frac{k}{2}$$

ortogonalidad de dos tons, siempre que la diferencia de fases sea cero.

$$f_k = \frac{2k-1}{2} f_d, \quad f_d T = \frac{k}{2}$$

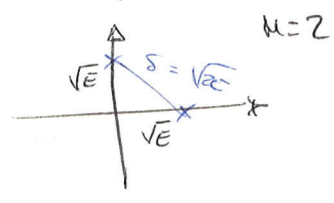
$$P_e \leq (M-1) \cdot P_e [M=2]$$

$$P_e [M=2] = Q\left(\sqrt{\frac{E}{N_0}}\right)$$

$$P_e \leq (M-1) \cdot Q\left(\sqrt{\frac{E}{N_0}}\right)$$

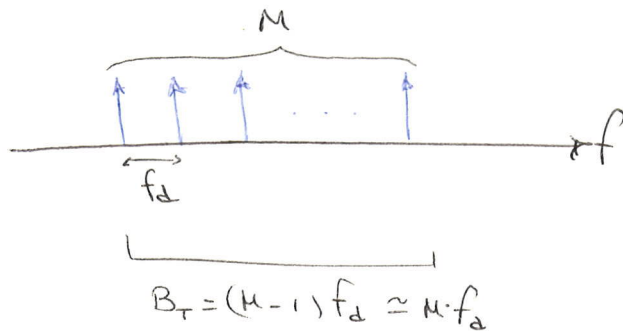
$$= (M-1) \cdot Q\left(\sqrt{\frac{E_b}{N_0} \log_2 M}\right)$$

para un constelación ortogonal.



Eficiencia espectral:

$$\eta = \frac{R(\text{bps})}{B_T}$$



$$\eta \approx \frac{\frac{1}{T} \log_2 M}{M \cdot f_d} = \frac{1}{f_d \cdot T} \cdot \frac{\log_2 M}{M}$$

En el mejor caso posible,  $K=1 \rightarrow f_d \cdot T = 1/2 \rightarrow$

$$\rightarrow \eta \approx \frac{2 \log_2 M}{M} \text{ bps/Hz}$$

Si  $M \uparrow$   $\left\{ \begin{array}{l} \eta \downarrow \\ E_b, p_e \downarrow \end{array} \right.$

Para una constelación binaria, FSK ortogonal no es lo mejor posible.

Ejemplo:

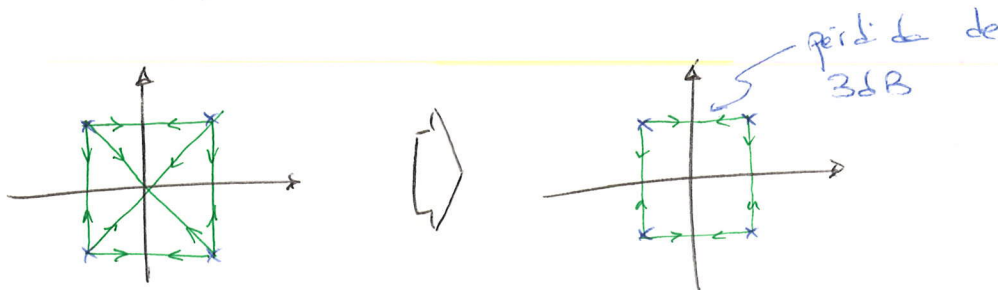
Aunque la distancia entre 2 tones según su diferencia de frecuencias.

### 4.3.3- OTRAS TÉCNICAS

#### 4.3.3.1 - QPSK

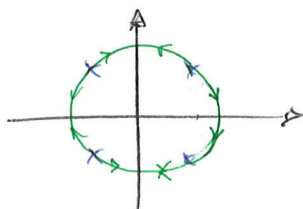
$\theta \equiv$  offset

Prevenir las transiciones de  $180^\circ$  (que implican que en algún momento la potencia se hace cero).



#### 4.3.3.2 - MSK (Minimum Shift Keying)

Se le da una forma a las señales para que las frecuencias sean circulares



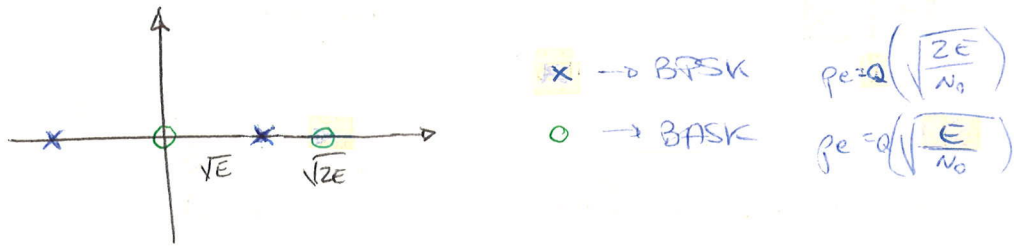
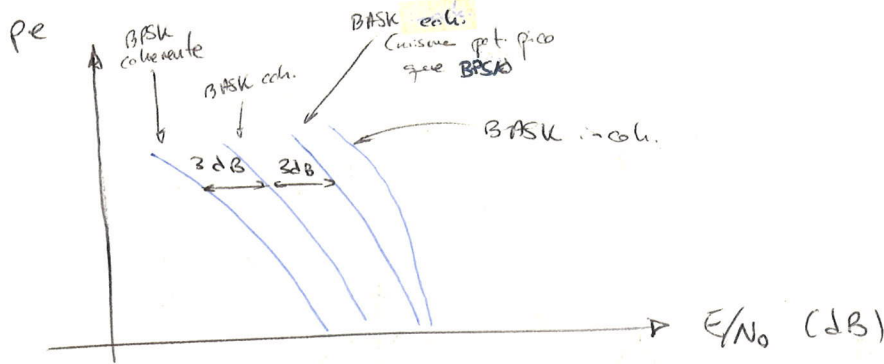
#### 4.3.3.3 - DPSK

Resolver el problema de la determinación de la fase, transmitiendo la información en los cambios de fase.

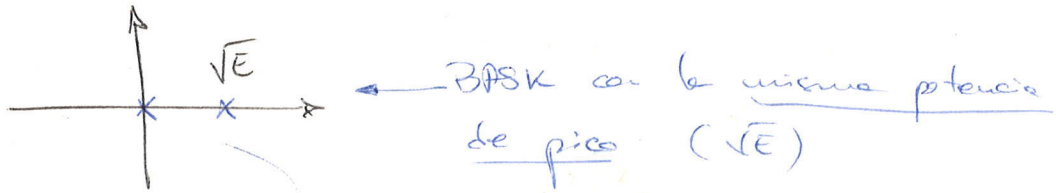
Las prestaciones son algo inferiores a PSK, pero permite la transmisión en canales no coherentes. Son inferiores porque, al ser un sistema con memoria, los errores se propagan.

# 4.4 - PRESTACIONES

## 4.4.1 - COMPARACION DE SISTEMAS

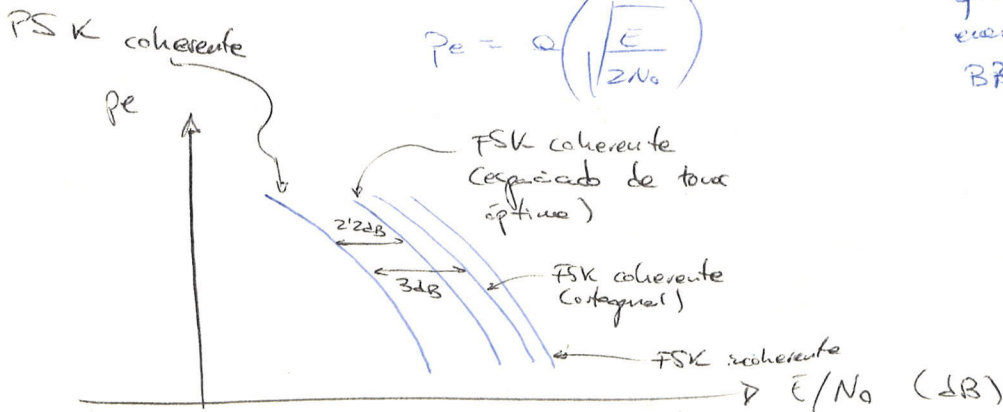


BASK es la misma energía media es 3dB peor



simbolos 3dB más cerca => sistema 3dB peor que BPSK con misma energía media que BPSK

$$P_e = Q\left(\sqrt{\frac{E}{2N_0}}\right)$$



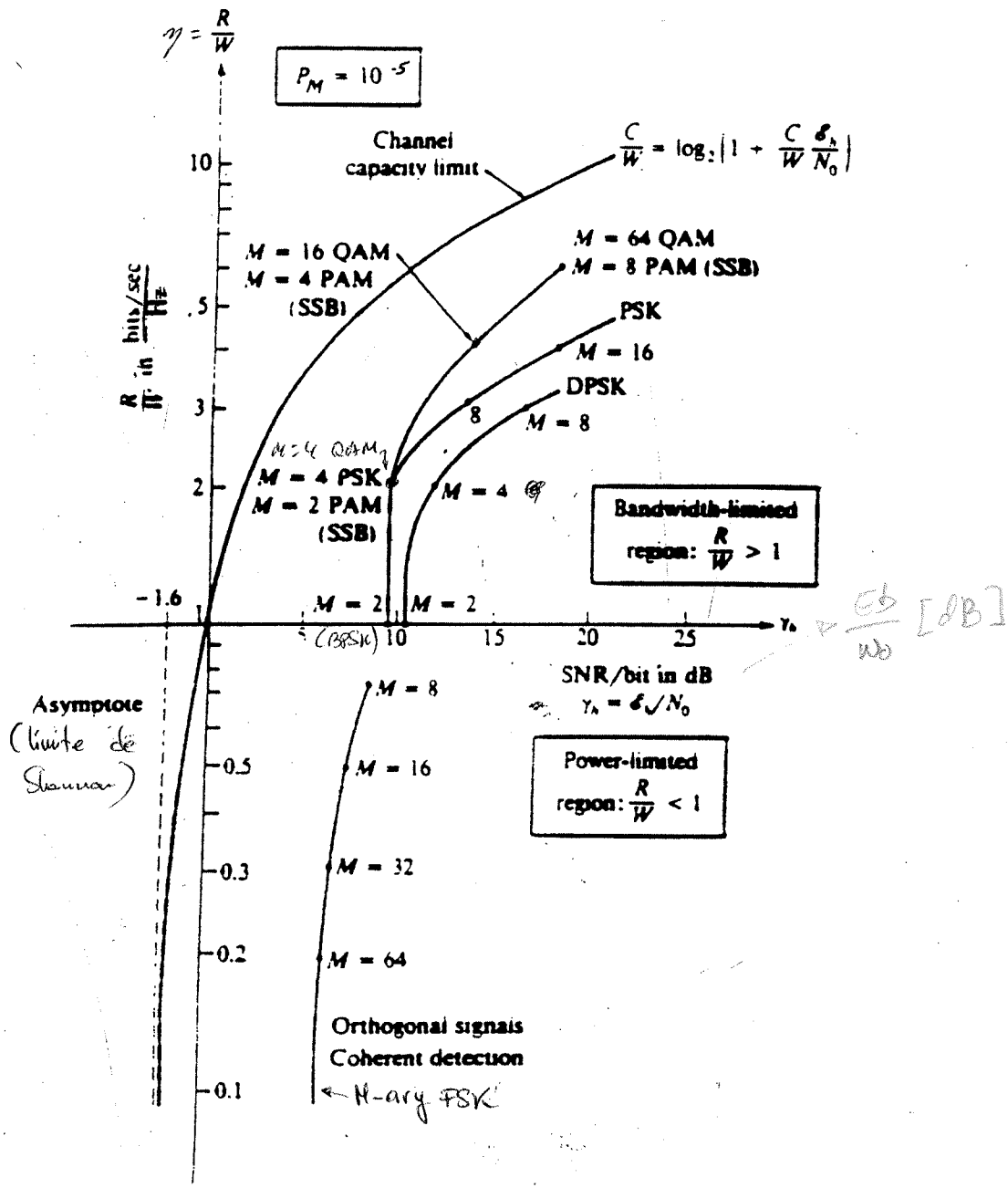


FIGURE 4.2.9 Comparison of several modulation methods at  $10^{-5}$  symbol error probability.

LA trasparenca

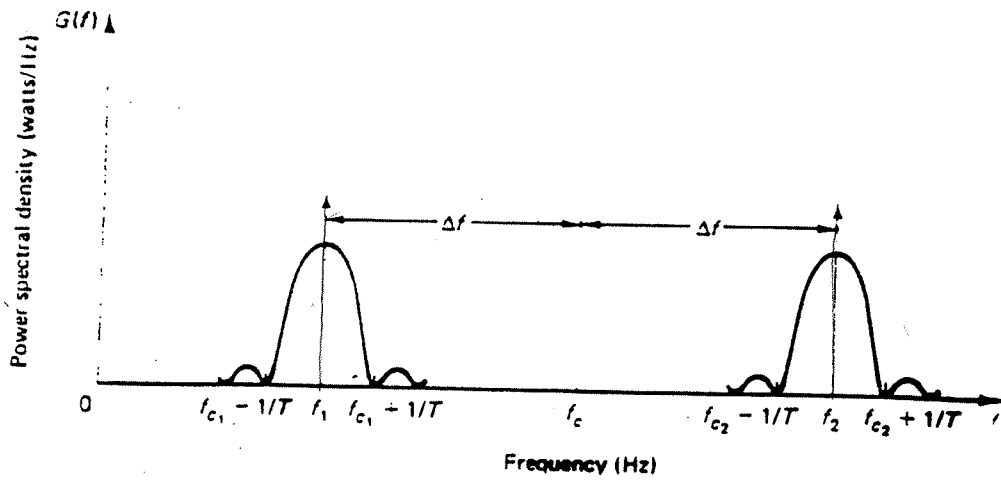


Figure 8.49 Power spectral density for BFSK.

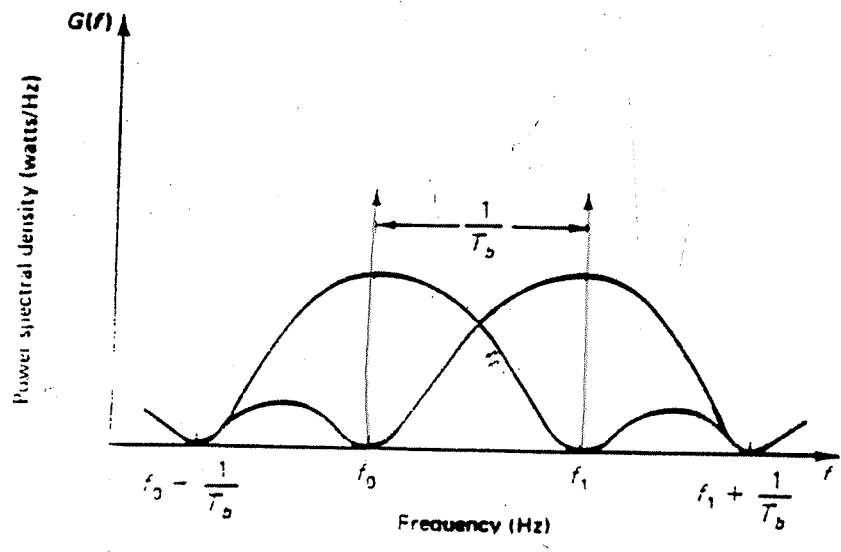


Figure 8.50 Power spectral density for BFSK, orthogonal tone spacing.

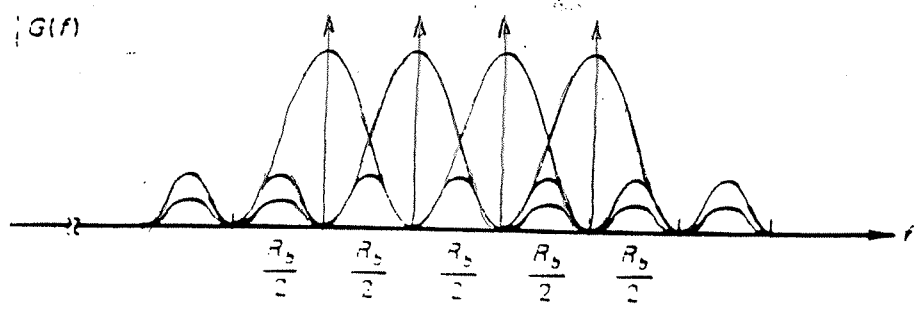


Figure 8.56 Power spectral density for 4-ary FSK.

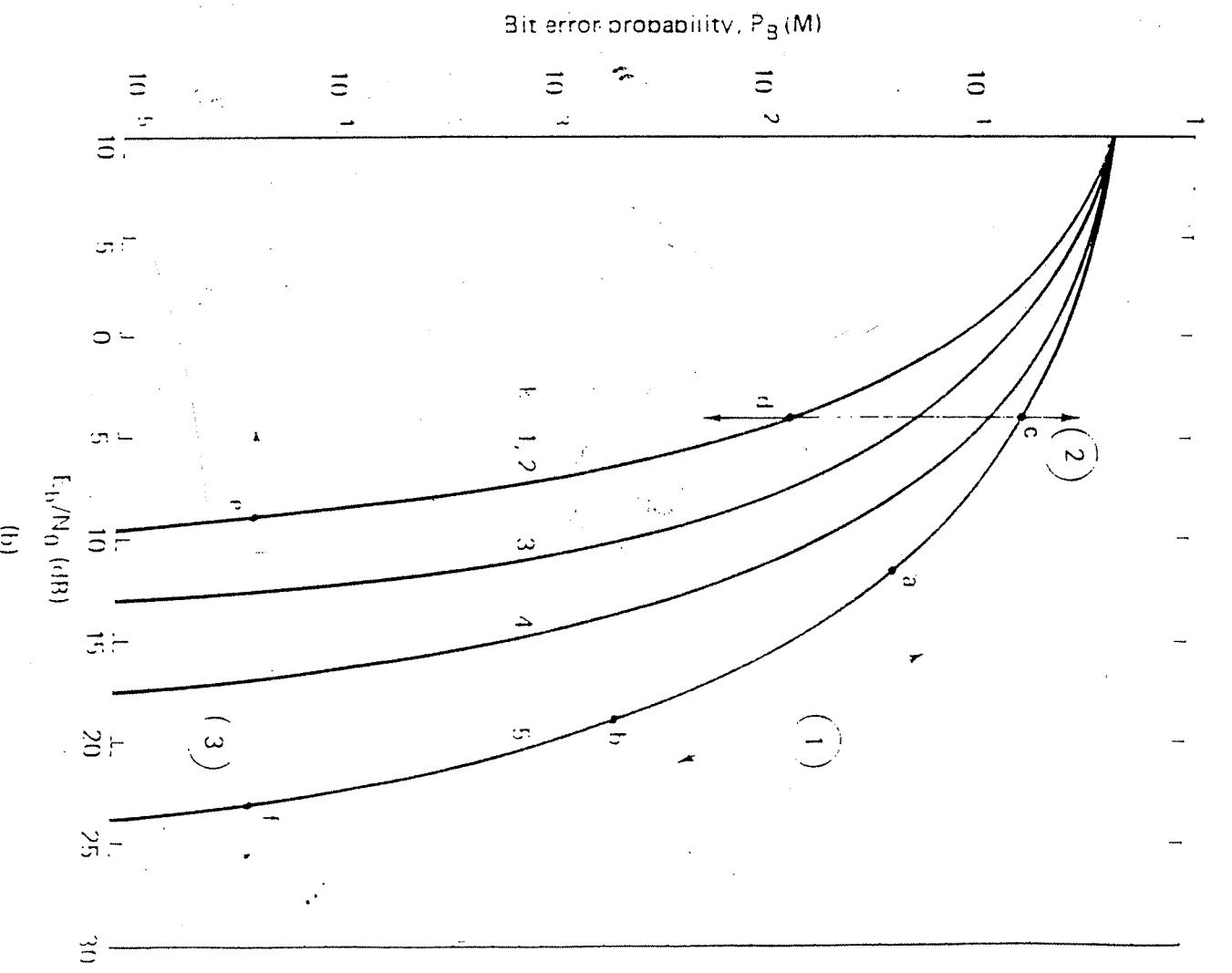
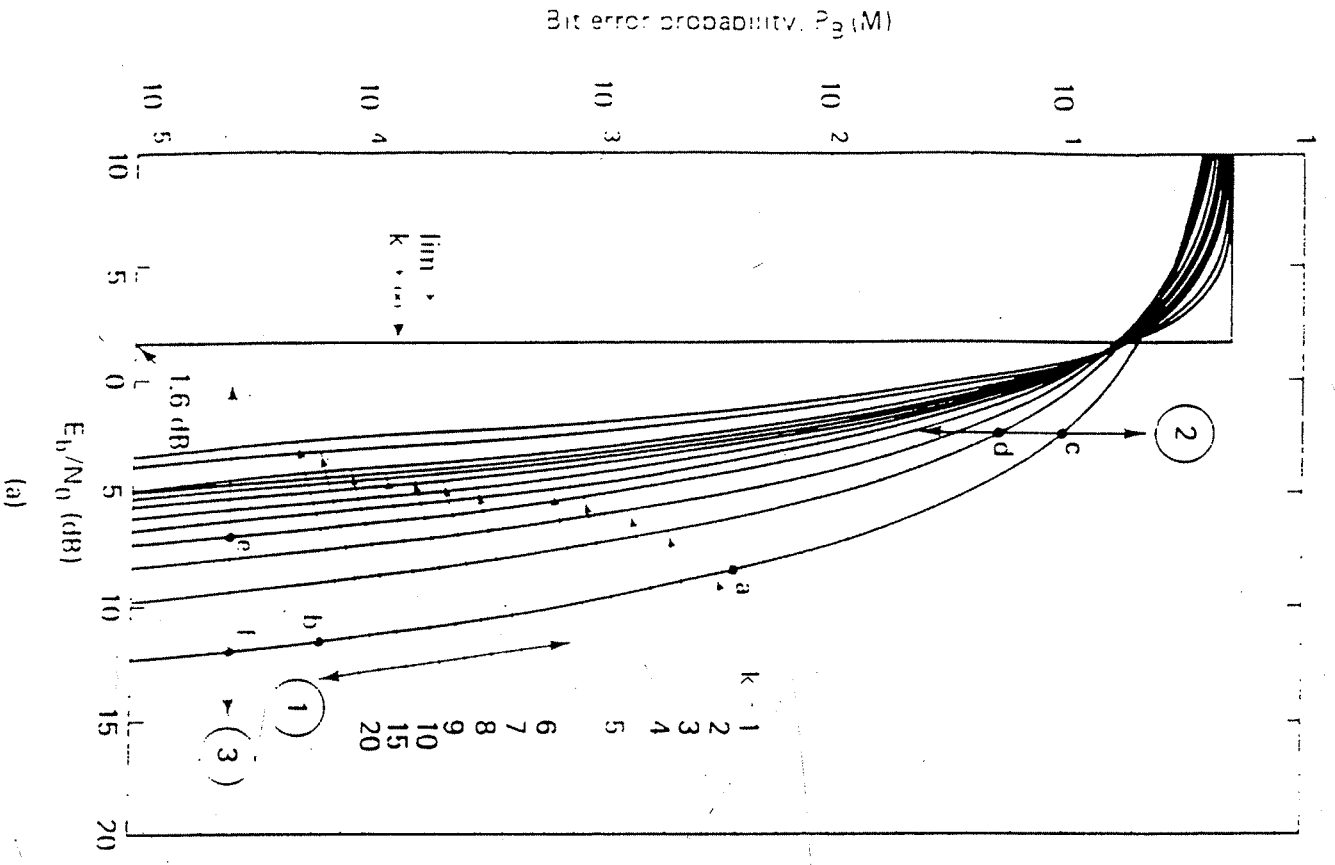
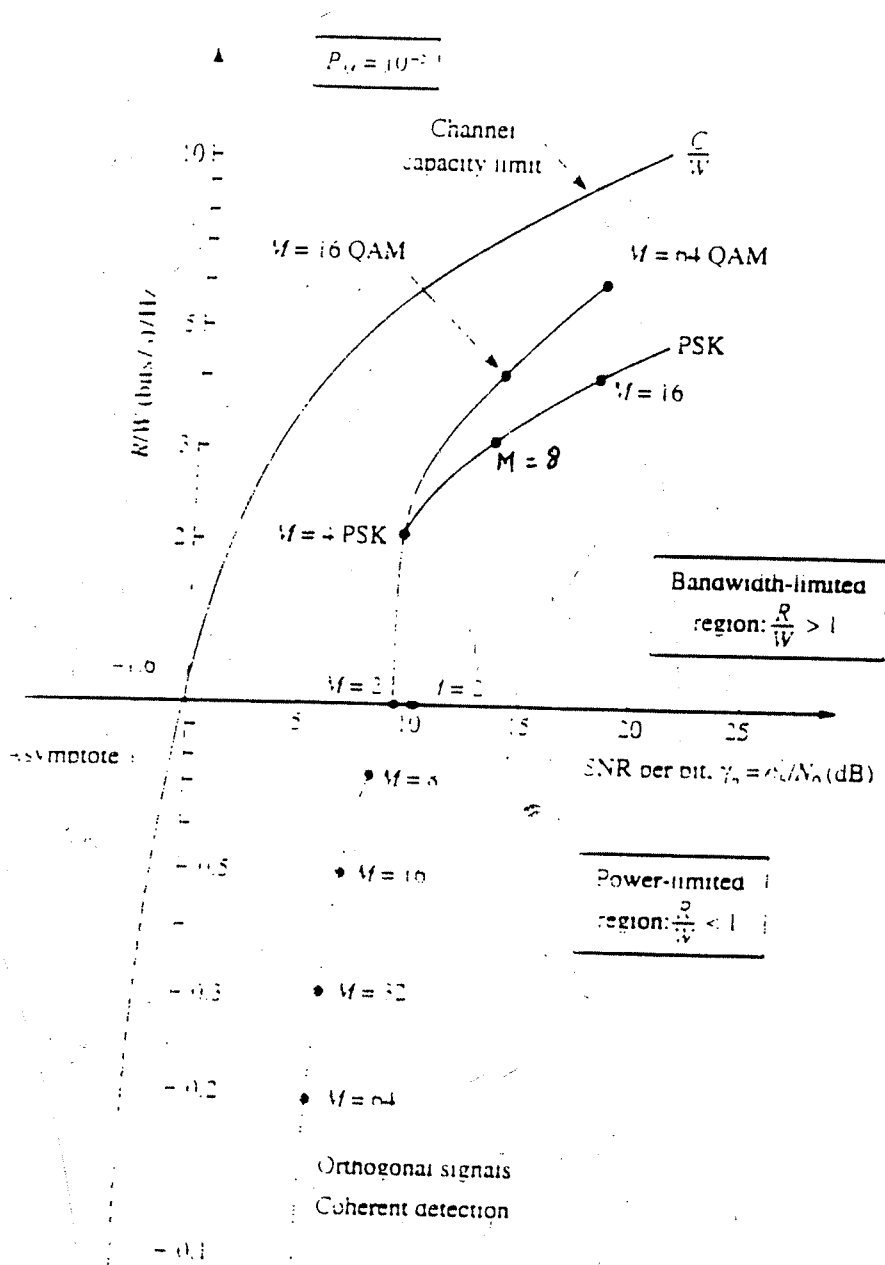


Figure 7.1 Bit error probability versus  $E_b/N_0$  for coherently detected  $M$  ary signaling. (a) Orthogonal signaling. (b) Multiple phase signaling.



2-17 Comparison of several modulation methods at  $10^{-2}$  symbol error probability

### 4.4.2- CRITERIOS DE DISEÑO

- Coste
- Complejidad
- $R_c$  (bps)
- BER máxima
- $B_T$  máxima
- $T_T$  máxima
- $P_{Rx}$
- Tiempo de adquisición máxima del  $R_x$

### PROBLEMAS

① ¿Puede formarse una señal ASK sobre una portadora de 1MHz mediante la mezcla de la información con una onda periódica triangular de 500kHz? ¿Y de 200kHz?

Los armónicos pares no aparecen  $\Rightarrow$  no se puede.

Si  $x(t - T/2) = -x(t)$ , los armónicos pares no aparecen.

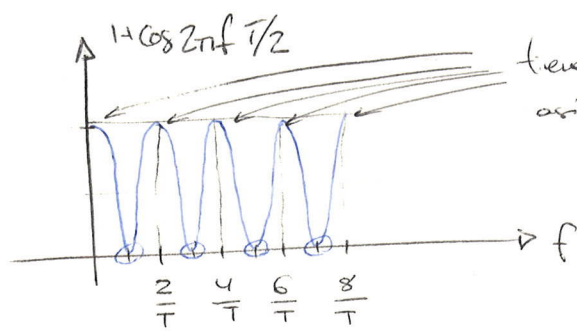
$$X(f) \cdot e^{-j2\pi f \frac{T}{2}} = -X(f)$$

$$\Rightarrow X(f) (1 + e^{-j2\pi f \frac{T}{2}}) = 0$$

módulo

$$\Rightarrow |1 + \cos 2\pi f T/2 - j \sin 2\pi f T/2| = \sqrt{2(1 + \cos 2\pi f T/2)}$$

$$x(f) = \sqrt{2} \cos(2\pi f T/2) \cdot e^{i\theta} = 0$$



tiene que ser cero el producto,  
así que  $x(f)$  es cero

Si la portadora es de 200 kHz, el 5º armónico se  
le puede sacar.

② a) Receptor óptimo de complejidad mínima:

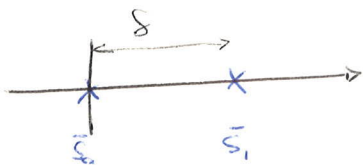
$$s_0(t) = a \quad s_1(t) = \cos(1000t + \theta)$$

Qual ANGBW,  $p_0 = 1/4$

b) Hallar  $p_1$  si  $N_0/2 = 10^{-3}$  W/Hz y  $R = 100$  bps

c) EBW de primer sub?

Duración de  $\bar{s}_i$ :



$$100 \text{ bps} = 100 \text{ señales/s} \rightarrow T = 0.01 \text{ s}$$

$$R = r(\text{baudios}) \cdot H(\text{bits/simbolo})$$

$$H = p_0 \log_2 \frac{1}{p_0} + p_1 \log_2 \frac{1}{p_1} =$$

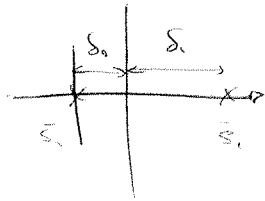
$$100 = r \cdot \delta \quad \Rightarrow r = 12318 \text{ baudios}$$

$$= 0.81 \text{ bits/simbolo}$$

$$= 1/T$$

$$T = 0.0081$$

$$\delta = T/2$$



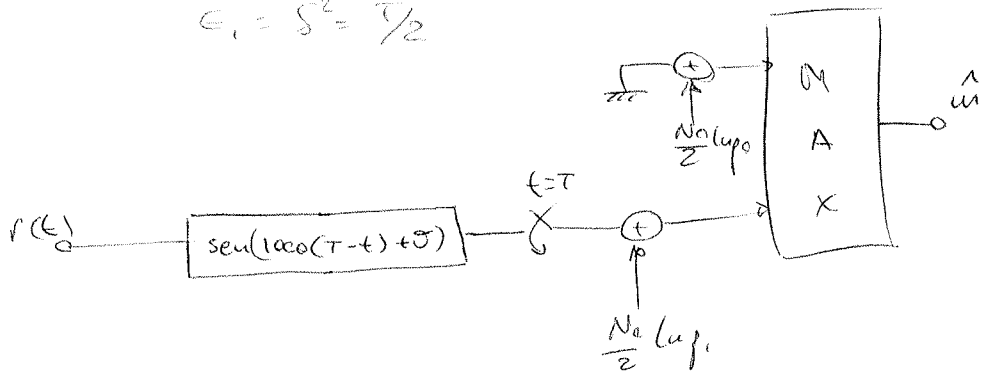
$$p_e = p_0 \cdot Q\left(\frac{s_0}{\sqrt{N_0/2}}\right) + p_1 \cdot Q\left(\frac{s_1}{\sqrt{N_0/2}}\right)$$

$$\begin{cases} s_0 = \frac{s}{2} + \frac{N_0}{2s} \ln \frac{p_0}{p_1} \\ s_1 = \frac{s}{2} + \frac{N_0}{2s} \ln \frac{p_1}{p_0} \end{cases}$$

a)  $\hat{u} = \arg \min_i \left( (r_i, \hat{s}_i) - \frac{1}{2} E_i + \frac{N_0}{2} \ln p_i \right)$

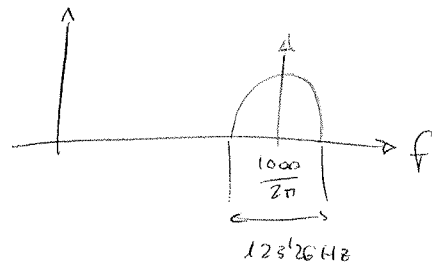
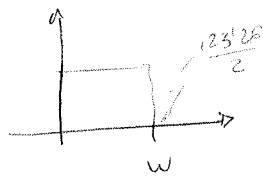
$$E_0 = 0$$

$$E_1 = s^2 = T/2$$



c)  $r = 123'26 \text{ baud/s}$

$r_{max} \rightarrow 2W$  en base



4) Mensajes equiprobables, canal AWGN:

$s_1(t) = \cos \omega t$       $s_2(t) = \cos(\omega + \Delta\omega)t$

$T = 1 \mu s$

$f = 1 \text{ MHz}$

$\Delta f = 250 \text{ Hz}$

$N_b/2$  tal que  $E/N_0 = 6$

Calcular  $P_e$ . También si  $\Delta f = 500 \text{ Hz}$

$\int_0^T \cos \omega t \cos(\omega + \Delta\omega)t dt \approx \frac{T}{2} \text{sinc}(2\Delta f T) = 0$

despreciando el término de frecuencia doble

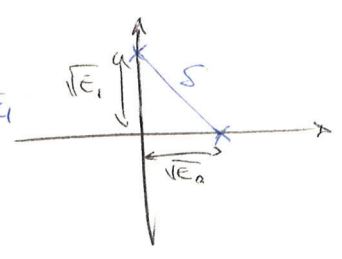
$\Rightarrow 2\Delta f T = k$       $\Delta f \cdot T = k$       $k \in \mathbb{Z}$

$\Delta f_1 = 250 \text{ Hz} \Rightarrow \Delta f \cdot T = 1/4 \rightarrow$  señales no ortogonales

$\Delta f_2 = 500 \text{ Hz} \Rightarrow \Delta f \cdot T = 1/2 \rightarrow$  ortogonales

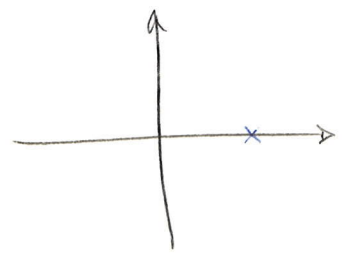
Caso 2:

$\bar{E}_0 = \frac{1}{2} \cdot 1 \mu s = 5 \cdot 10^{-4} = \bar{E}_1$   
 $= \bar{E}$



$P_e = Q\left(\frac{S/2}{\sqrt{N_0/2}}\right) = Q\left(\sqrt{\frac{E}{N_0}}\right)$   
 $= Q(\sqrt{6})$

Caso 1:



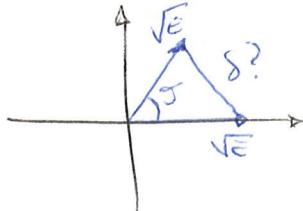
$P_e$  caso (Gaussian-Schwid)

$$(x, y) = \|x\| \cdot \|y\| \cdot \cos \theta$$

$$= \sqrt{\frac{T}{2}} \sqrt{\frac{T}{2}} \cdot \cos \theta = \frac{T}{2} \sin c 2 \Delta f T$$

$$\cos \theta = \sin c 2 \Delta f T$$

$$= \sin c \frac{1}{2} = \frac{\text{sen } \pi/2}{\pi/2} = \frac{2}{\pi}$$



Teorema del coseno:  $S^2 = E + E - 2E \cdot \cos \theta$

$$= 2E \cdot \left(1 - \frac{2}{\pi}\right)$$

etc.



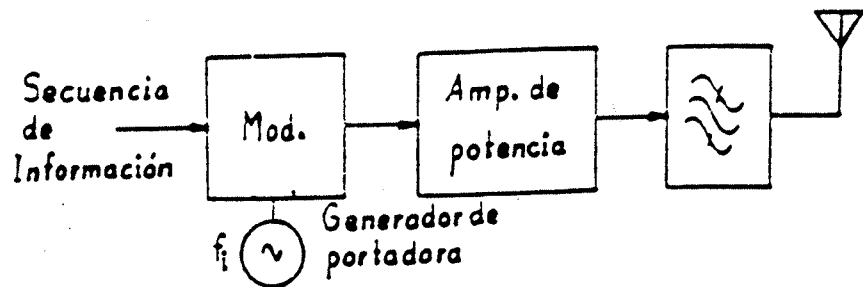


Figura 8.11. Transmisor PSK.

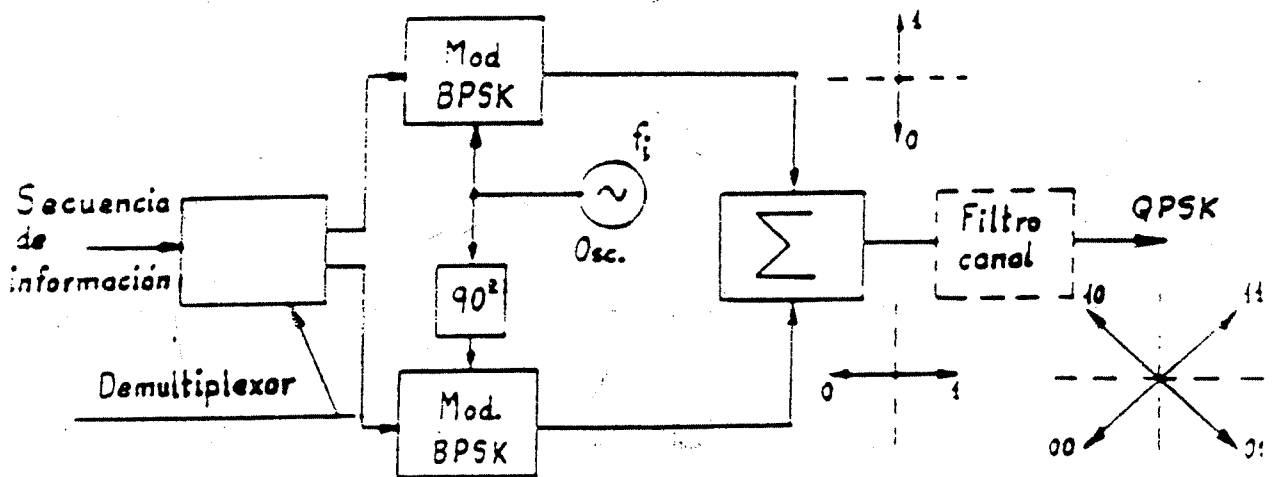


Figura 8.13. Modulador QPSK.

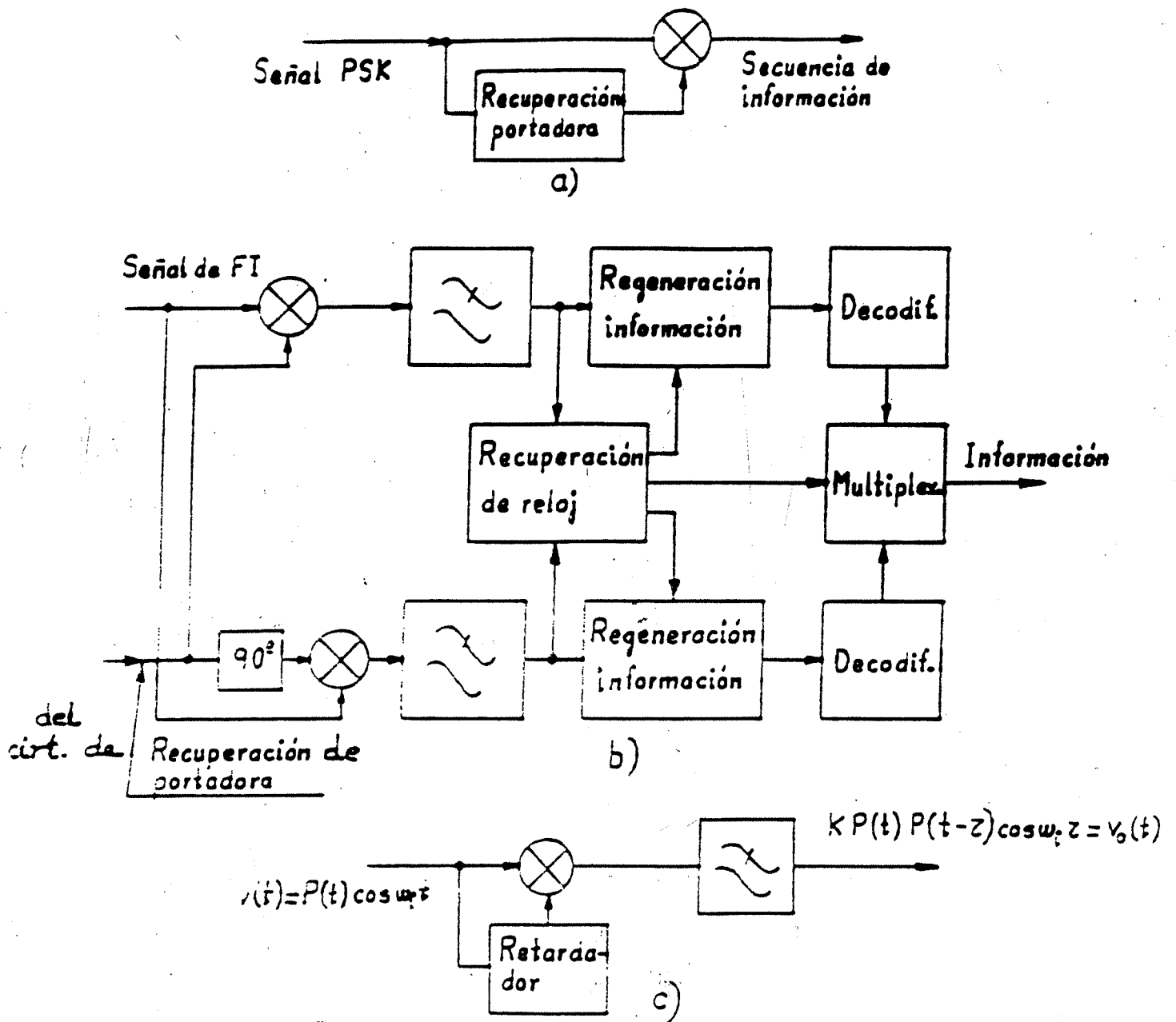
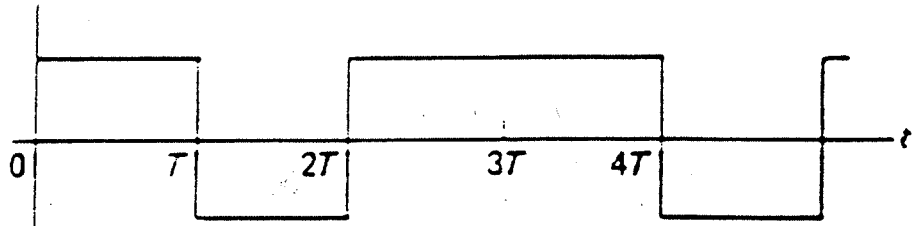


Figura 8.16. a) Detector coherente de BPSK  
 b) Detector coherente de QPSK  
 c) Detector Diferencial

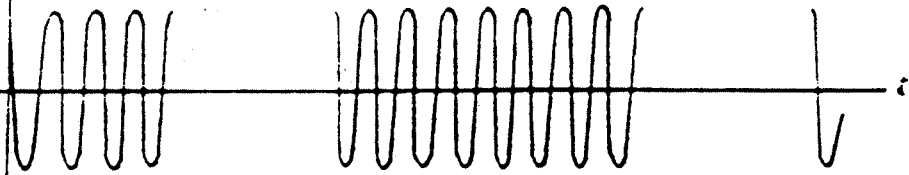
Digital sequence:

1 0 1 1 0

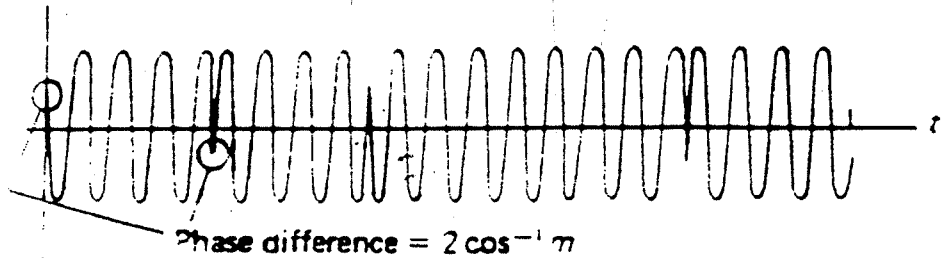
Antipodal baseband signal:



ASK:



PSK:



FSK:

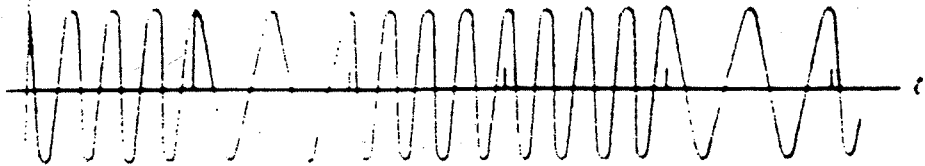


FIGURE 7.14 Waveforms for ASK, PSK, and FSK modulation

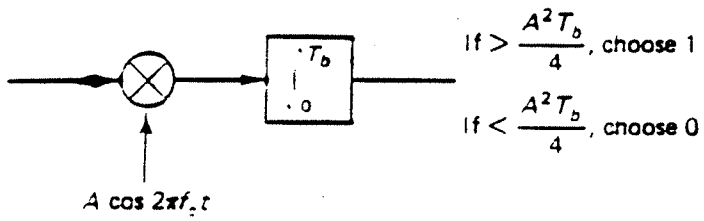


Figure 8.43 Matched filter detector for OOK.

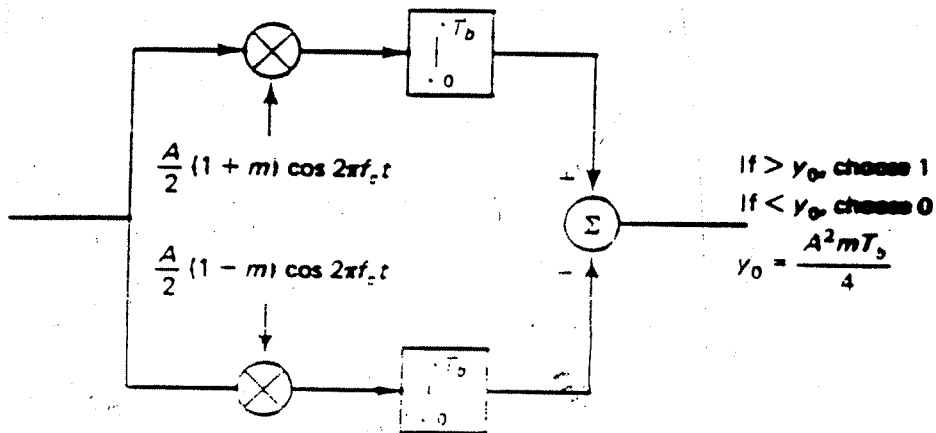


Figure 8.42 Matched filter detector for BASK.

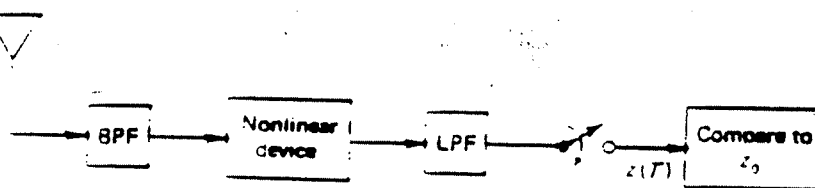
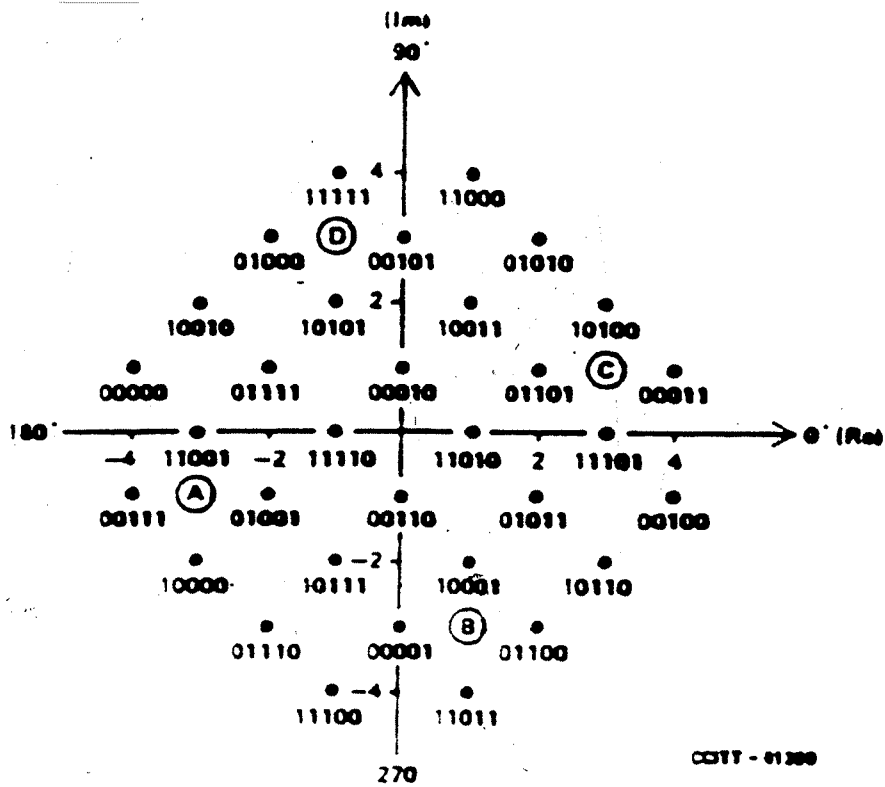


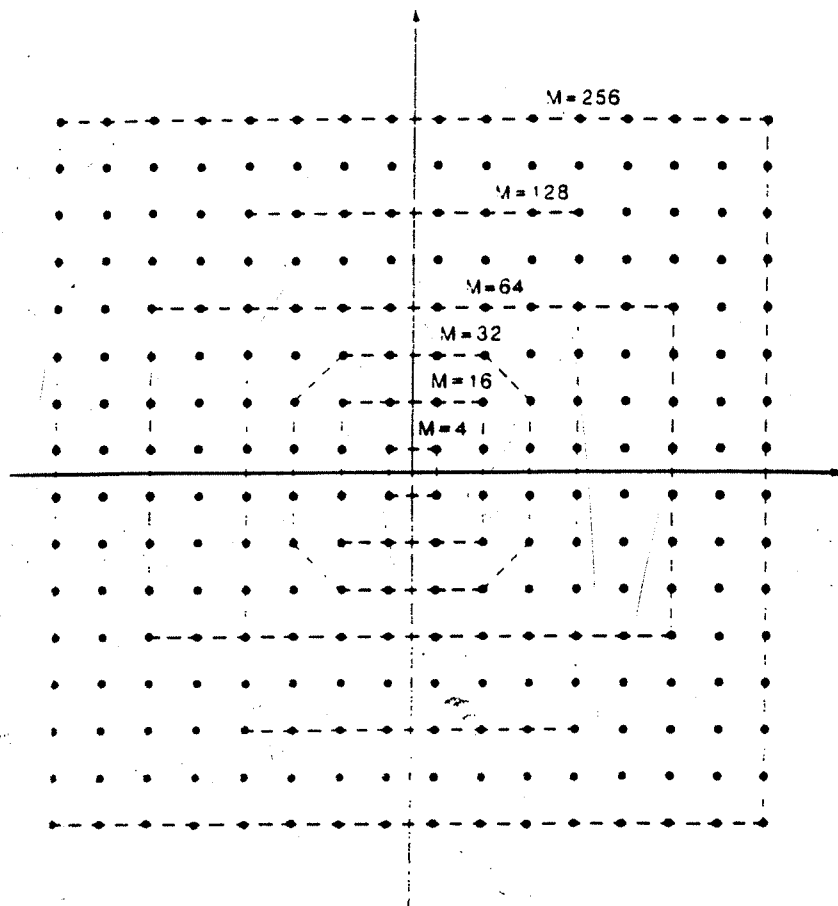
Figure 8.44 Envelope detector for OOK BASK.



Los numeros binarios representan  $Y_0, Y_1, Y_2, Q_3, Q_4,$

FIGURA 3/V.32

Constelacion de señal de 32 puntos con codificación en rejilla para 9600 bit/s  
 y subconjunto de estados A, B, C y D utilizados a 4800 bit/s  
 y para el acondicionamiento



**Figure 5.22** Rectangular AM-PM signal constellations. The dotted lines delimit the region of the signal points pertaining to that particular  $M$ . Notice the cross constellations for  $M = 32 = 2^5$  and  $M = 128 = 2^7$ .

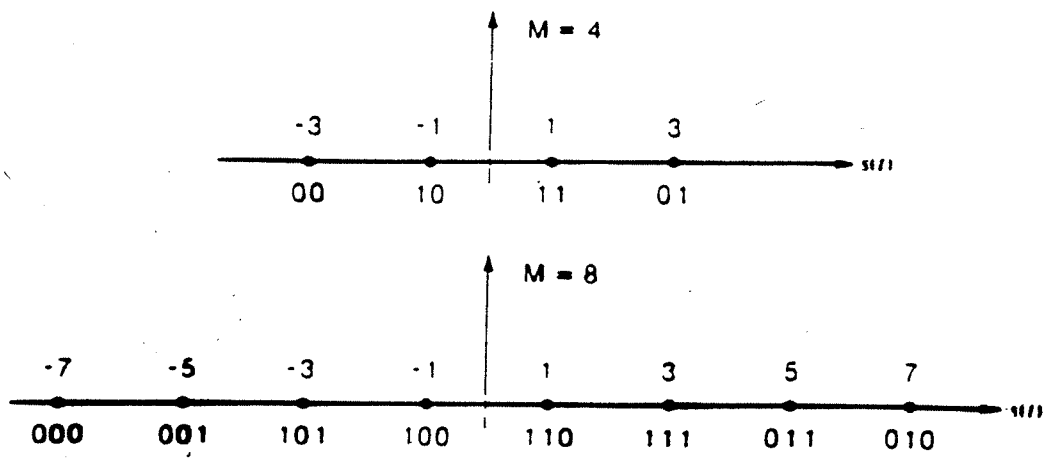
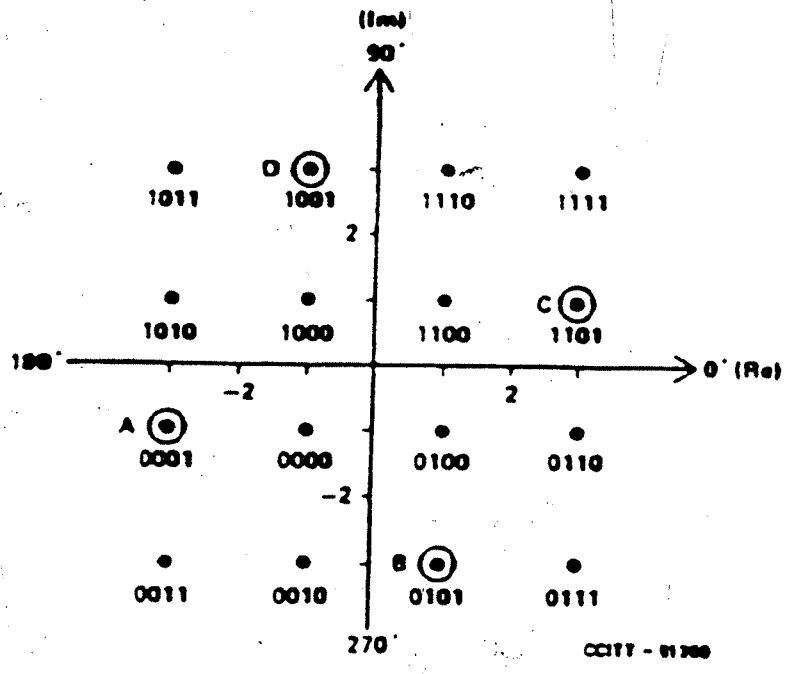


Figure 5.2 Geometrical representation of PAM signal sets.



Los numeros binarios representan  $Y1_n, Y2_n, Q3_n, Q4_n$

FIGURA 1/V.32

Constelación de señal de 16 puntos con codificación no redundante para 9600 bit/s y subconjunto A, B, C y D de estados utilizados a 4800 bit/s y para el acondicionamiento

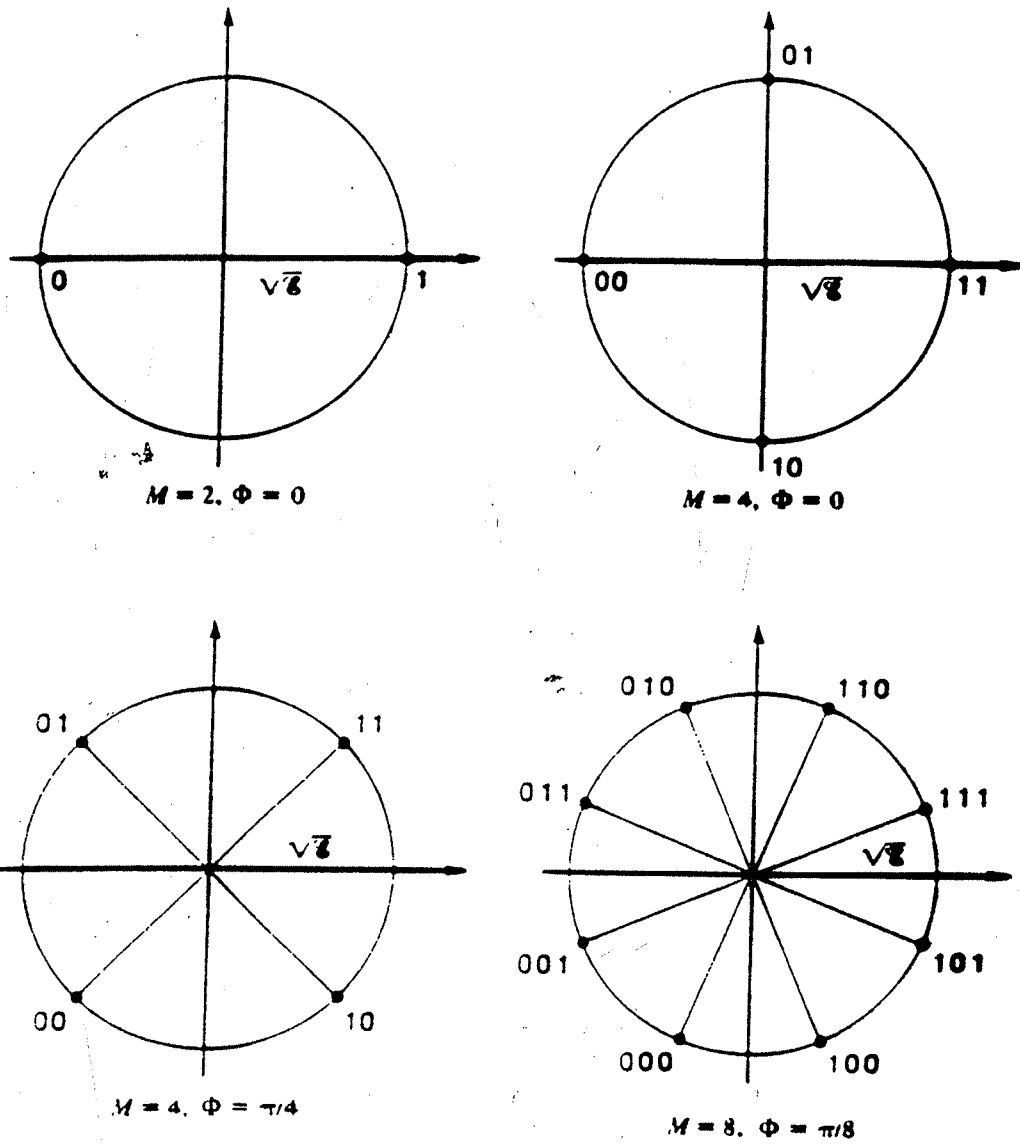


Figure 5.5 Geometrical representation of PSK signal sets.

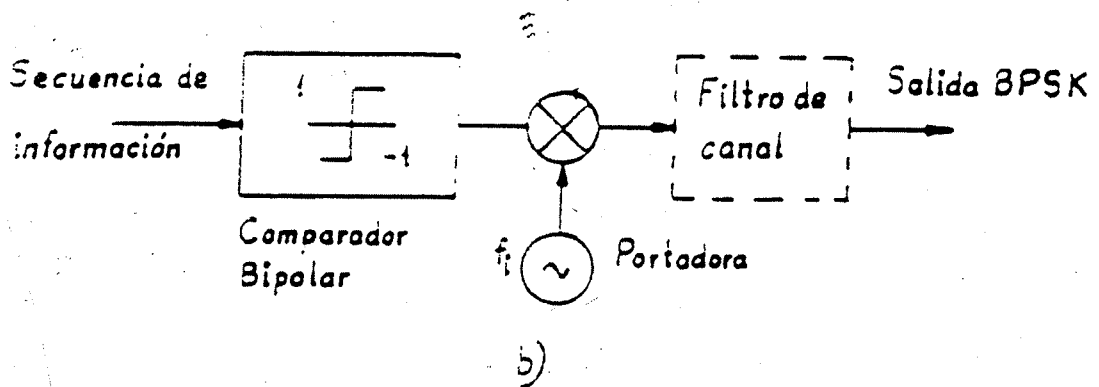
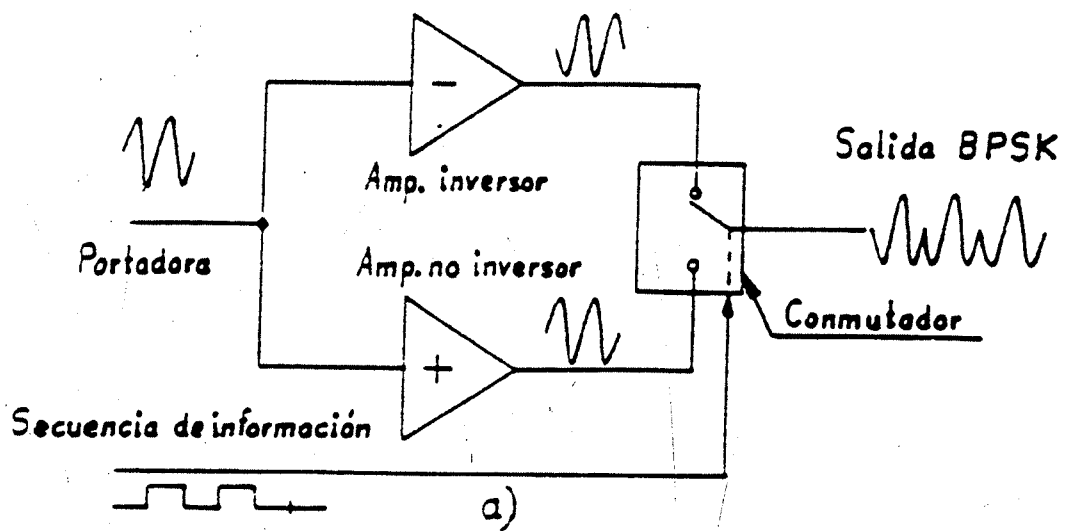


Figura 8.12. Moduladores BPSK.

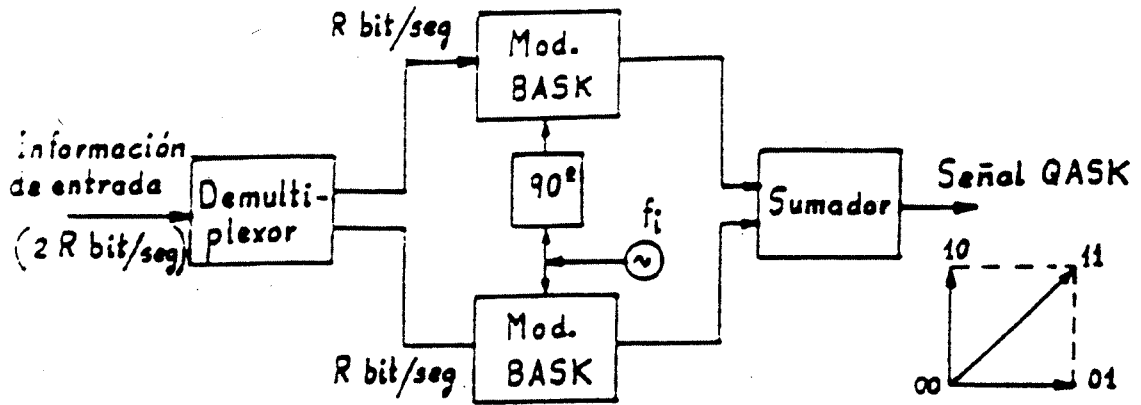


Figura 8.6. Modulador de QASK.

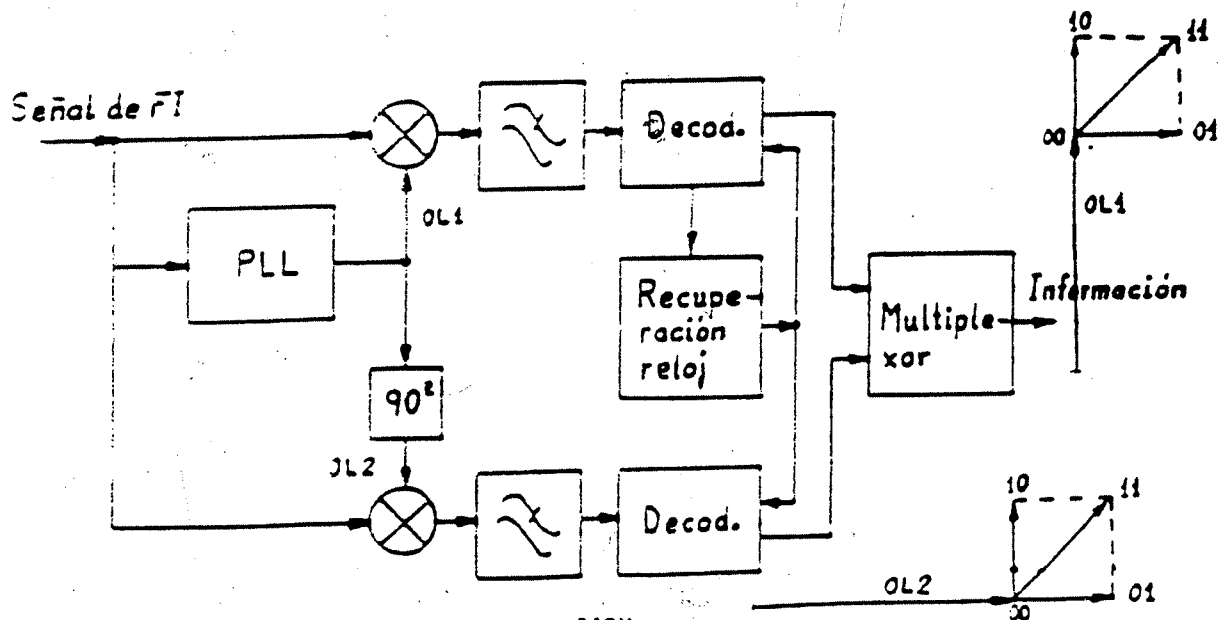


Figura 8.10. Detección coherente de QASK.

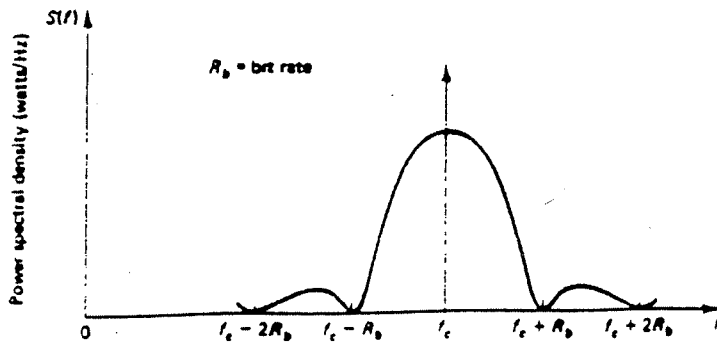


Figure 8.4 Power spectral density of random BASK signal

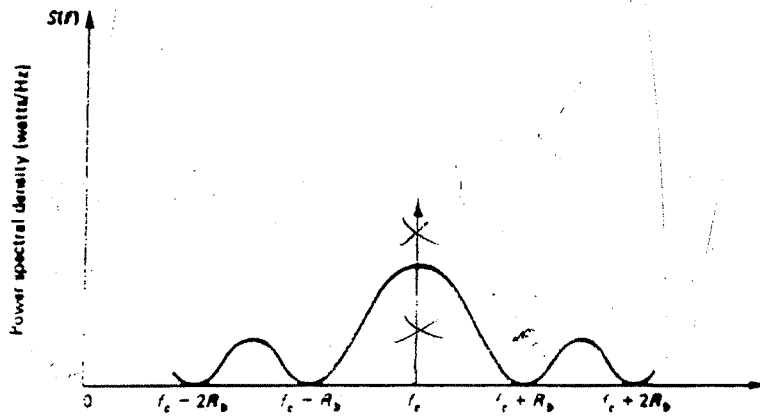


Figure 10.3 Power spectral density of random BPSK waveform

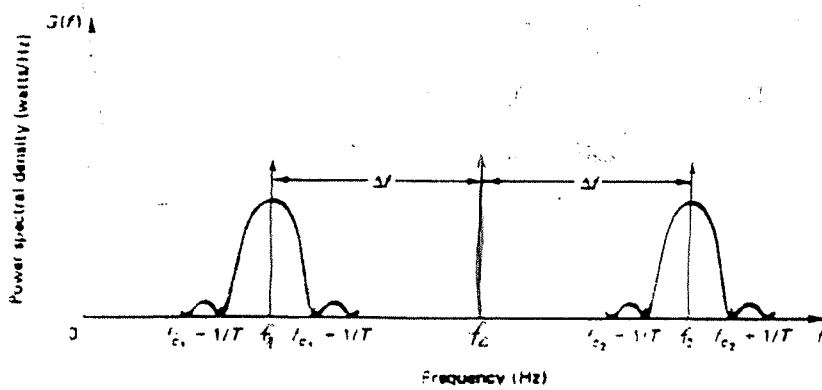


Figure 9.5 Power spectral density of random FSK waveform

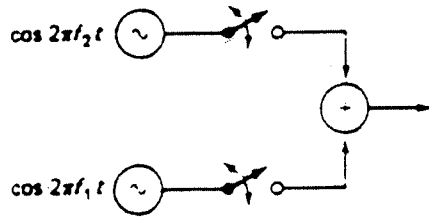


Figure 9.4 FSK as the superposition of two ASK waveforms

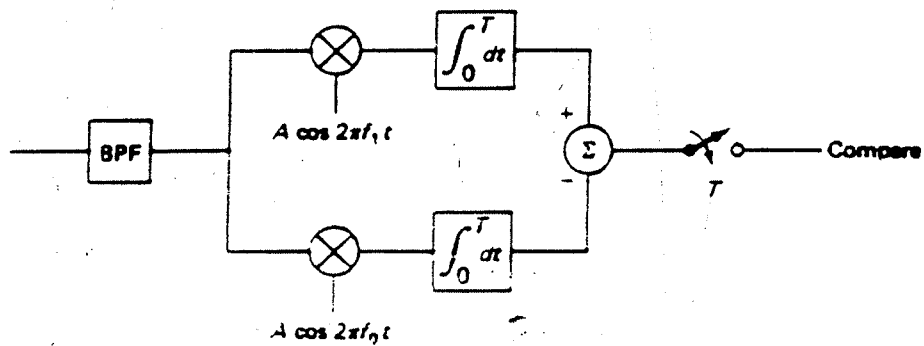


Figure 9.11 Coherent FSK detector

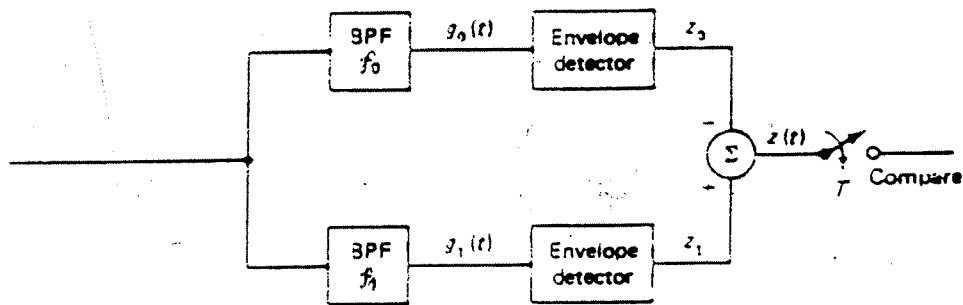


Figure 9.12 Incoherent FSK detector